

§ 4 (微波) 谐振腔

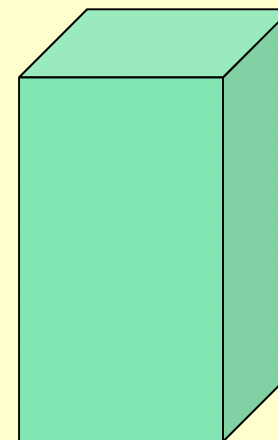
谐振腔（resonator）——激发高频电磁波

- ① 低频电磁波一般利用LC电路组成的振荡器激发；
- ② 当频率升高时（例如微波段的电磁波），回路辐射损耗逐渐地增加；
- ③ 高频电磁波可采用金属谐振腔来激发；
- ④ 相干光源—采用光学谐振腔来激发。

本节主要内容

1. 由理想金属导体构成的矩形谐振腔内的电场
2. 矩形谐振腔内的磁场
3. 矩形谐振腔的本征频率、最小本征频率

1、由理想金属导体构成的
矩形谐振腔内的电场



1) 谐振腔中为自由空间, 时谐电磁波满足

$$\nabla^2 \vec{E}(\vec{x}) + k^2 \vec{E}(\vec{x}) = 0$$

——Helmholtz方程

$$\nabla \cdot \vec{E} = 0$$

2) 理想导体与介质分界面电磁场边值关系:

① 导体表面外侧电场切向分量为零

$$E_t = 0$$

② 磁感应强度场的法向分量为零;

$$B_n = 0$$

对于波导（以TE模式为例），

$$E_z = 0, H_z(x, y) = H_0 \cos\left(\frac{m\pi}{L_1}x\right) \cos\left(\frac{m\pi}{L_2}y\right)$$

考虑到电磁场的传播因子 $e^{i(k_z z - \omega t)}$

$$H_z(x, y) = H_0 \cos\left(\frac{m\pi}{L_1}x\right) \cos\left(\frac{m\pi}{L_2}y\right) e^{i(k_z z - \omega t)}$$

对于谐振腔，第一中处理方法是表示成两个反向的波导模式的叠加：

$$H_z(x, y) = H_0 \cos\left(\frac{m\pi}{L_1}x\right) \cos\left(\frac{m\pi}{L_2}y\right) e^{i(k_z z - \omega t)} \\ + H'_0 \cos\left(\frac{m\pi}{L_1}x\right) \cos\left(\frac{m\pi}{L_2}y\right) e^{i(-k_z z - \omega t)}$$

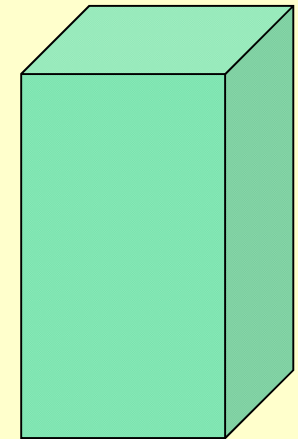
$$\nabla^2 \vec{E}(\vec{x}) + k^2 \vec{E}(\vec{x}) = 0$$

第二种处理方法：将谐振腔电场的三个分量都仿照波导中横向边界的处理：

$$\nabla^2 E_x(\vec{x}) + k^2 E_x(\vec{x}) = 0,$$

$$\nabla^2 E_y(\vec{x}) + k^2 E_y(\vec{x}) = 0,$$

$$\nabla^2 E_z(\vec{x}) + k^2 E_z(\vec{x}) = 0,$$



统一形式：
$$\nabla^2 u(\vec{x}) + k^2 u(\vec{x}) = 0$$

$$\nabla^2 u(\vec{x}) + k^2 u(\vec{x}) = 0$$

2) 采用分离变量法求解电场的任意一个分量

$$u(\vec{x}) = X(x)Y(y)Z(z)$$

$$\frac{d^2 X}{dx^2} + k_x^2 X = 0,$$

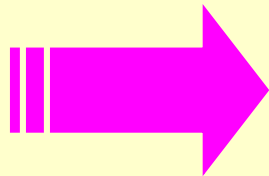
$$\frac{d^2 Y}{dy^2} + k_y^2 Y = 0,$$

$$\frac{d^2 Z}{dz^2} + k_z^2 Z = 0,$$

$$(k_x^2 + k_y^2 + k_z^2 = k^2)$$

$$C \cos(kx) + D \sin(kx)$$

特解



理想导体与介质分界面电磁场边值关系：

① 导体表面外侧电场切向分量为零

$$E_t = 0$$

$$\nabla \cdot \vec{E} = 0 \rightarrow \frac{\partial E_n}{\partial n} = 0$$

② 磁感应强度场的法向分量为零；

$$B_n = 0$$

3) 电场任一分量的特解形式为

$$u(\vec{x}) = [C_1 \cos(k_x x) + D_1 \sin(k_x x)] \\ \cdot [C_2 \cos(k_y y) + D_2 \sin(k_y y)] \\ \cdot [C_3 \cos(k_z z) + D_3 \sin(k_z z)]$$

考虑 电场沿 x轴方向上的分量:

$$E_x = [C_1 \cos(k_x x) + D_1 \sin(k_x x)] \\ \cdot [C_2 \cos(k_y y) + D_2 \sin(k_y y)] \\ \cdot [C_3 \cos(k_z z) + D_3 \sin(k_z z)]$$

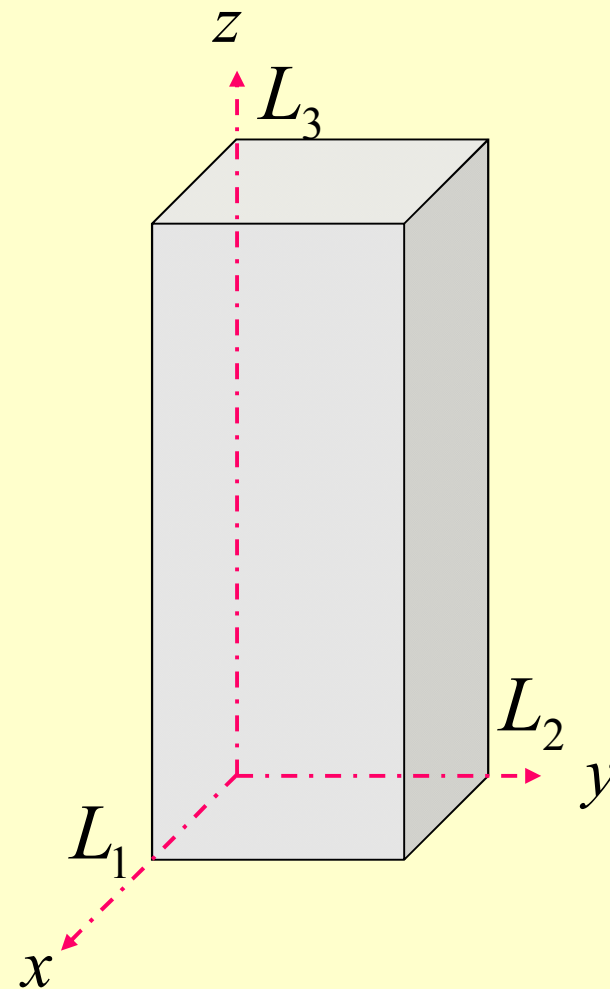
$$E_x = [C_1 \cos(k_x x) + D_1 \sin(k_x x)] \\ \cdot [C_2 \cos(k_y y) + D_2 \sin(k_y y)] \\ \cdot [C_3 \cos(k_z z) + D_3 \sin(k_z z)]$$

六个边界面：

前、后： $x = L_1$ 及 $x = 0$

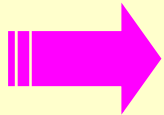
上、下： $z = L_3$ 及 $z = 0$

左、右： $y = 0$ 及 $y = L_2$

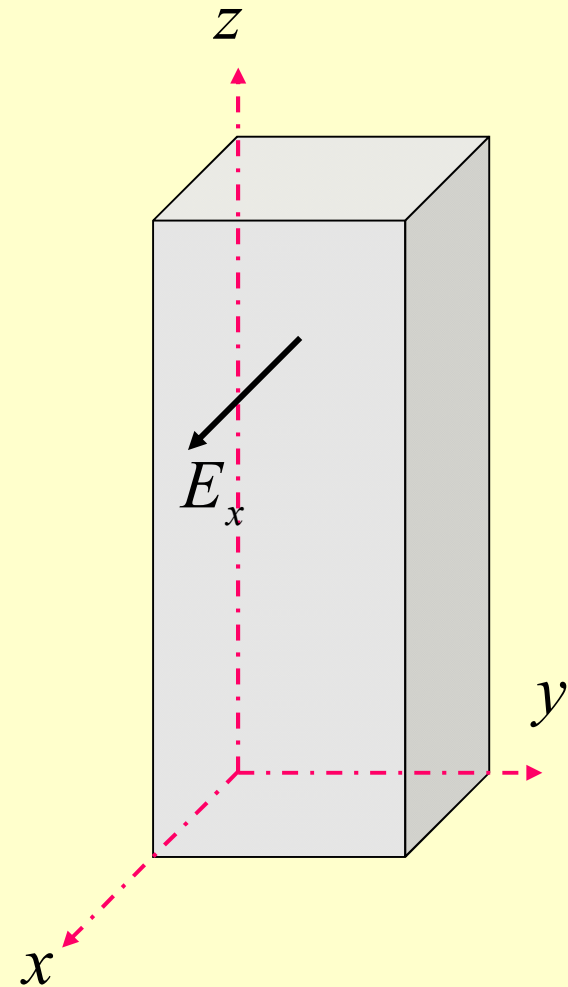


先考虑 $x = 0, y = 0, z = 0$ 三个面上的边界条件:

$$E_x = [C_1 \cos(k_x x) + D_1 \sin(k_x x)] \\ \cdot [C_2 \cos(k_y y) + D_2 \sin(k_y y)] \\ \cdot [C_3 \cos(k_z z) + D_3 \sin(k_z z)]$$



$$E_x = E_{0x} \cos(k_x x) \sin(k_y y) \sin(k_z z)$$



$$E_x = E_{0x} \cos(k_x x) \sin(k_y y) \sin(k_z z)$$

类似可得：

$$E_y = E_{0y} \sin(k_x x) \cos(k_y y) \sin(k_z z)$$

$$E_z = E_{0z} \sin(k_x x) \sin(k_y y) \cos(k_z z)$$

$$E_x = E_{0x} \cos(k_x x) \sin(k_y y) \sin(k_z z)$$

再考虑 $x = L_1, y = L_2, z = L_3$ 三个面上的边界条件:

$$\rightarrow \left. \frac{\partial E_x}{\partial x} \right|_{x=L_1} = 0$$

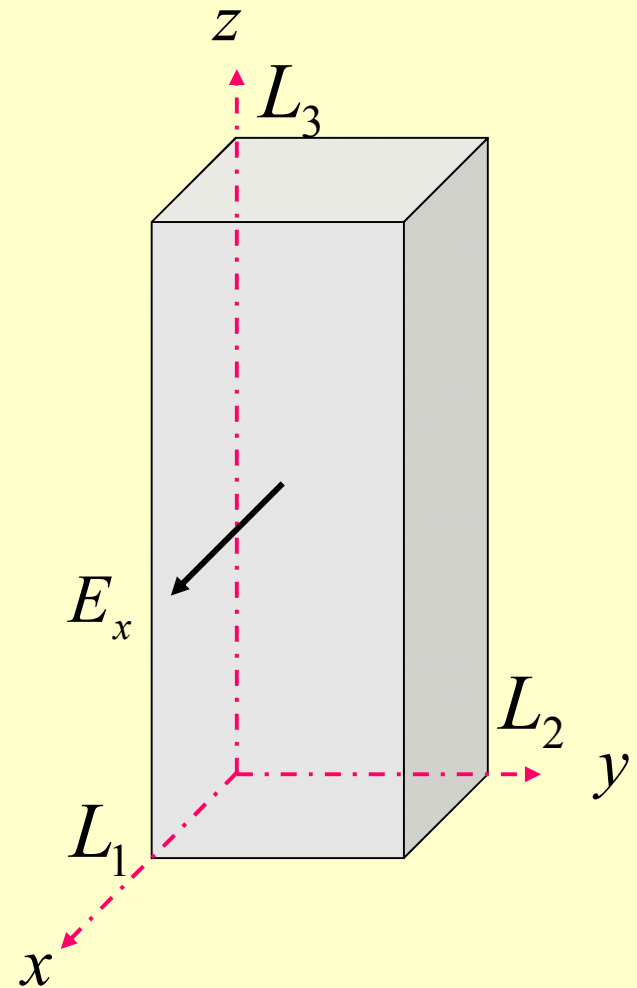
$$\rightarrow E_x|_{y=L_2} = 0,$$

$$\rightarrow E_x|_{z=L_3} = 0$$

$$k_x L_1 = m\pi, \quad m = 1, 2, 3, \dots$$

求得: $k_y L_2 = n\pi, \quad n = 1, 2, 3, \dots$

$$k_z L_3 = l\pi, \quad l = 1, 2, 3, \dots$$



矩形谐振腔内的电场：

$$E_x = E_{0x} \cos(k_x x) \sin(k_y y) \sin(k_z z)$$

$$E_y = E_{0y} \sin(k_x x) \cos(k_y y) \sin(k_z z)$$

$$E_z = E_{0z} \sin(k_x x) \sin(k_y y) \cos(k_z z)$$

其中 k_x , k_y , k_z 须满足：

$$k_x = \frac{m\pi}{L_1}, \quad k_y = \frac{n\pi}{L_2}, \quad k_z = \frac{l\pi}{L_3},$$

$$m, n, l = 1, 2, 3, \dots$$

$$E_x = E_{0x} \cos(k_x x) \sin(k_y y) \sin(k_z z)$$

$$E_y = E_{0y} \sin(k_x x) \cos(k_y y) \sin(k_z z)$$

$$E_z = E_{0z} \sin(k_x x) \sin(k_y y) \cos(k_z z)$$

4) 作为电磁场的解，还要求：

$$\nabla \cdot \vec{E}(\vec{x}) = 0$$



$$k_x E_{0x} + k_y E_{0y} + k_z E_{0z} = 0$$

即： E_{0x}, E_{0y}, E_{0z} 中只有两个分量是独立的

总结：对于矩形谐振腔，当波矢的各分量满足：

$$k_x = \frac{m\pi}{L_1}, \quad k_y = \frac{n\pi}{L_2}, \quad k_z = \frac{l\pi}{L_3},$$
$$m, n, l = 1, 2, 3, \dots$$

同时电场分量的振幅满足： $k_x E_{0x} + k_y E_{0y} + k_z E_{0z} = 0$

时谐电磁波的电场： $E_x = E_{0x} \cos(k_x x) \sin(k_y y) \sin(k_z z)$

$$E_y = E_{0y} \sin(k_x x) \cos(k_y y) \sin(k_z z)$$

$$E_z = E_{0z} \sin(k_x x) \sin(k_y y) \cos(k_z z)$$

代表腔中的一种谐振模，也称为矩形谐振腔的本征模。

2、谐振腔中本征模的磁场

$$E_x = E_{0x} \cos(k_x x) \sin(k_y y) \sin(k_z z)$$

$$E_y = E_{0y} \sin(k_x x) \cos(k_y y) \sin(k_z z)$$

$$E_z = E_{0z} \sin(k_x x) \sin(k_y y) \cos(k_z z)$$

$$\vec{H} = \frac{1}{i\omega\mu_0} \nabla \times \vec{E}$$

$$H_x = \frac{1}{i\omega\mu_0} \left(\frac{\partial E_z}{\partial y} - \frac{\partial E_y}{\partial z} \right)$$

$$= \frac{1}{i\omega\mu_0} (E_{0z} k_y - E_{0y} k_z) \sin(k_x x) \cos(k_y y) \cos(k_z z)$$

$$= -iH_{0x} \sin(k_x x) \cos(k_y y) \cos(k_z z)$$

其中：
$$H_{0x} = \frac{1}{\omega\mu_0} (E_{0z} k_y - E_{0y} k_z)$$

类似地可得到

$$H_y = -iH_{0y} \cos(k_x x) \sin(k_y y) \cos(k_z z),$$

$$H_z = -iH_{0z} \cos(k_x x) \cos(k_y y) \sin(k_z z)$$

3、矩形谐振腔的本征频率、最小本征频率

$$\begin{aligned}k^2 &= k_x^2 + k_y^2 + k_z^2 \\ &= \pi^2 \left(\frac{m^2}{L_1^2} + \frac{n^2}{L_2^2} + \frac{l^2}{L_3^2} \right)\end{aligned}$$

1) 谐振腔的**本征频率**（**圆频率**）为

$$\omega_{mnl} = ck = \pi c \sqrt{\frac{m^2}{L_1^2} + \frac{n^2}{L_2^2} + \frac{l^2}{L_3^2}}$$

2) 如果谐振腔中充满绝缘介质，

$$\omega_{mnl} = vk = \frac{\pi}{\sqrt{\mu\varepsilon}} \sqrt{\frac{m^2}{L_1^2} + \frac{n^2}{L_2^2} + \frac{l^2}{L_3^2}}$$

$$k^2 = k_x^2 + k_y^2 + k_z^2$$
$$= \pi^2 \left(\frac{m^2}{L_1^2} + \frac{n^2}{L_2^2} + \frac{l^2}{L_3^2} \right)$$

3) 从上面的公式中可以看出， (m, n, l) 不能有
两个同时为零；

$$E_x = E_{0x} \cos(k_x x) \sin(k_y y) \sin(k_z z)$$

$$E_y = E_{0y} \sin(k_x x) \cos(k_y y) \sin(k_z z)$$

$$E_z = E_{0z} \sin(k_x x) \sin(k_y y) \cos(k_z z)$$

4) 假设谐振腔的尺寸满足:

$$L_1 > L_2 > L_3$$

则, 本征模的最低频率模为:

$$(m, n, l) = (1, 1, 0)$$

(1,1,0) 本征模的圆频率为:

$$\omega_{1,1,0} = \pi c \sqrt{\frac{1}{L_1^2} + \frac{1}{L_2^2}}$$

$$\begin{aligned} k^2 &= k_x^2 + k_y^2 + k_z^2 \\ &= \pi^2 \left(\frac{m^2}{L_1^2} + \frac{n^2}{L_2^2} + \frac{l^2}{L_3^2} \right) \end{aligned}$$

$$\omega_{mnl} = \pi c \sqrt{\frac{m^2}{L_1^2} + \frac{n^2}{L_2^2} + \frac{l^2}{L_3^2}}$$

$$\omega_{mnl} = \pi c \sqrt{\frac{m^2}{L_1^2} + \frac{n^2}{L_2^2} + \frac{l^2}{L_3^2}}$$

(1,1,0) 本征模的圆频率:

$$\omega_{110} = \pi c \sqrt{\frac{1}{L_1^2} + \frac{1}{L_2^2}}$$

(1,1,0) 本征模的波长为:

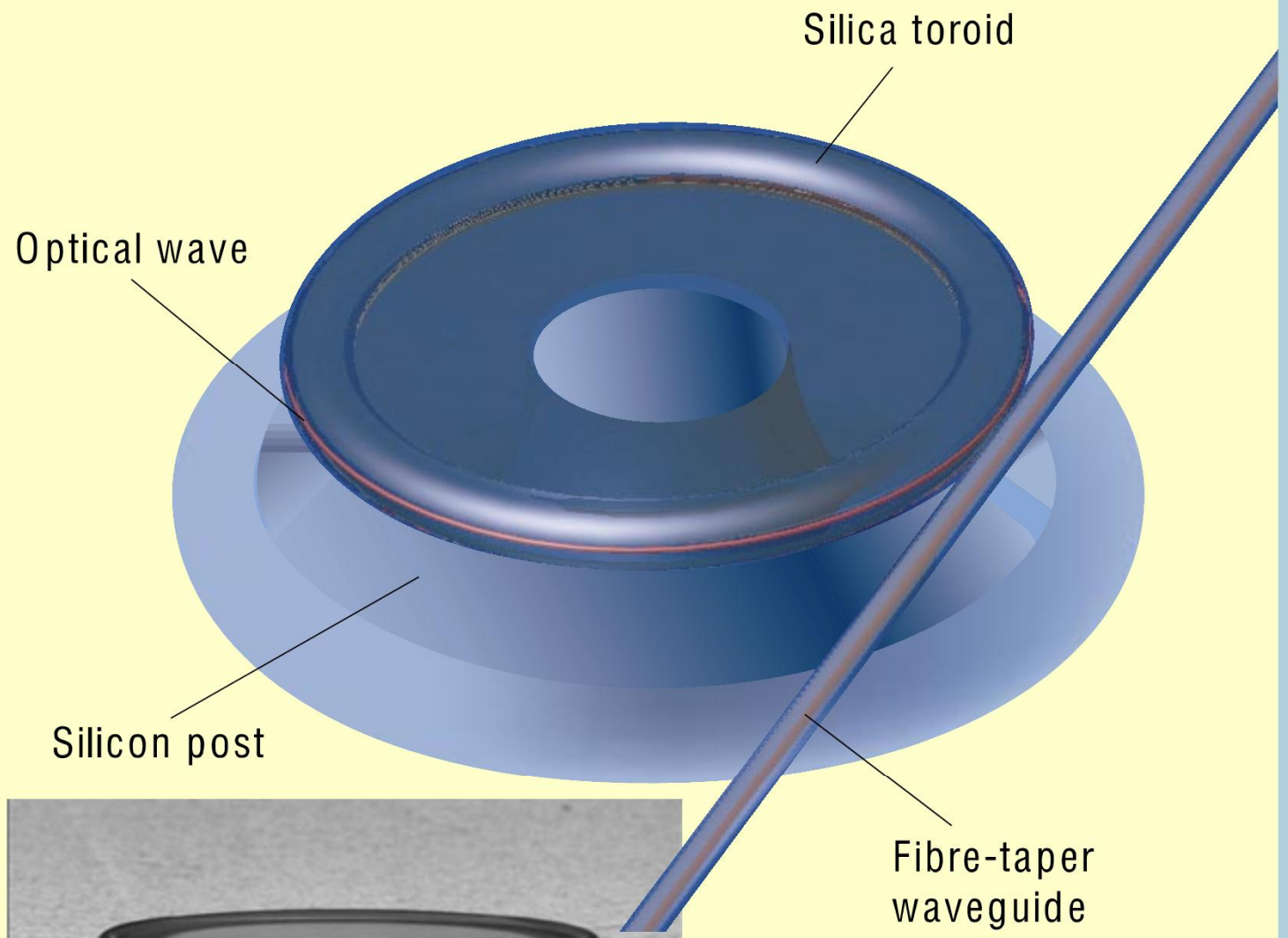
$$\lambda_{110} = \frac{2\pi c}{\omega_{110}} = \frac{2}{\sqrt{\frac{1}{L_1^2} + \frac{1}{L_2^2}}}$$

此本征模波长与谐振腔的线度处于同一数量级上。

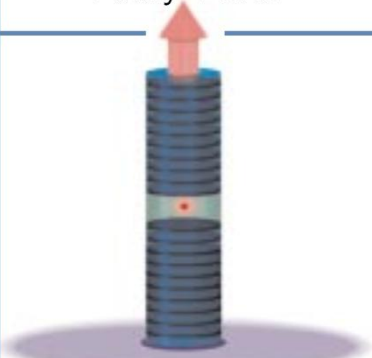
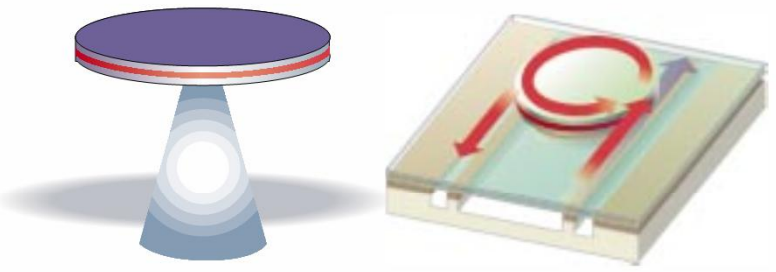
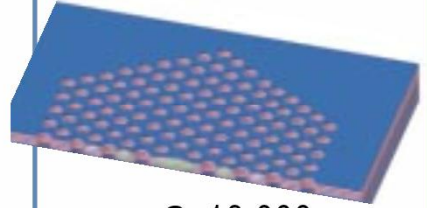
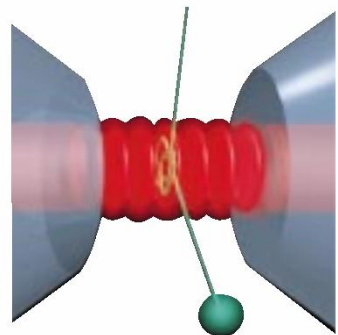
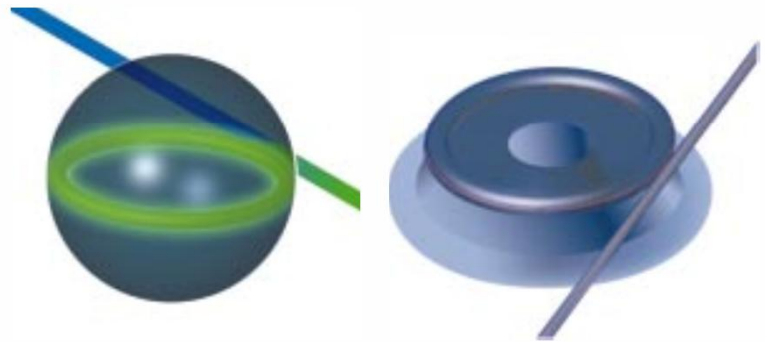
微光学谐振腔

微光学谐振腔

- 在高频波段，金属的损耗增加，所以人们一般不采用金属来实现光学波段的谐振腔；
- 几种代表性的介质型微光学谐振腔。利用光学全反射机制，共振模式是传播的光学模。

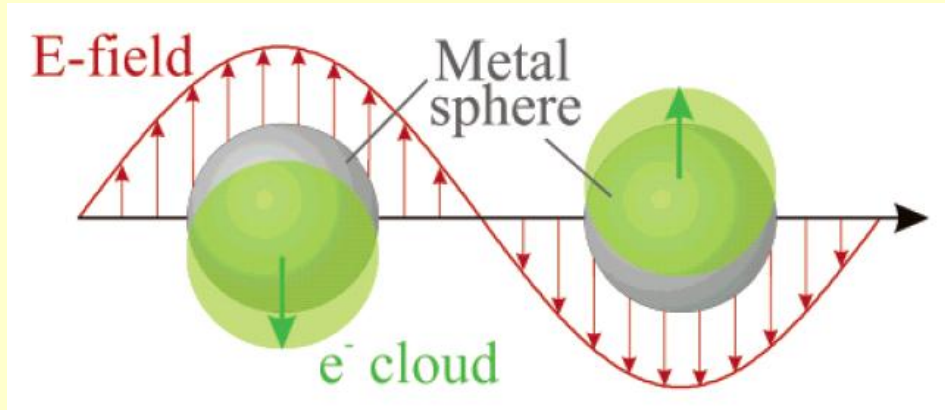


42.5 μm

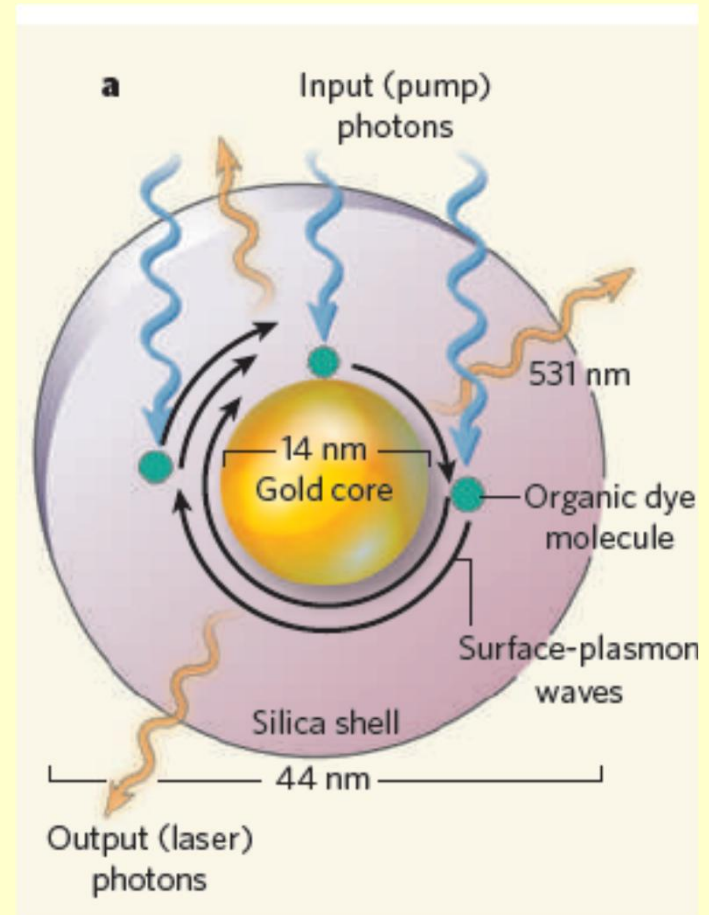
| | Fabry-Perot | Whispering gallery | Photonic crystal |
|-------------|---|--|--|
| High Q |  <p>Q: 2,000 V: $5 (\lambda/n)^3$</p> |  <p>Q: 12,000 V: $6 (\lambda/n)^3$</p> <p>Q_{III-V}: 7,000 Q_{Poly}: 1.3×10^5</p> |  <p>Q: 13,000 V: $1.2 (\lambda/n)^3$</p> |
| Ultrahigh Q |  <p>F: 4.8×10^5 V: $1,690 \mu\text{m}^3$</p> |  <p>Q: 8×10^9 V: $3,000 \mu\text{m}^3$</p> <p>Q: 10^8</p> | |

等离激元微腔，及纳米激光器
surface plasmons and nanolasers

基于等离激元共振腔的纳米激光器



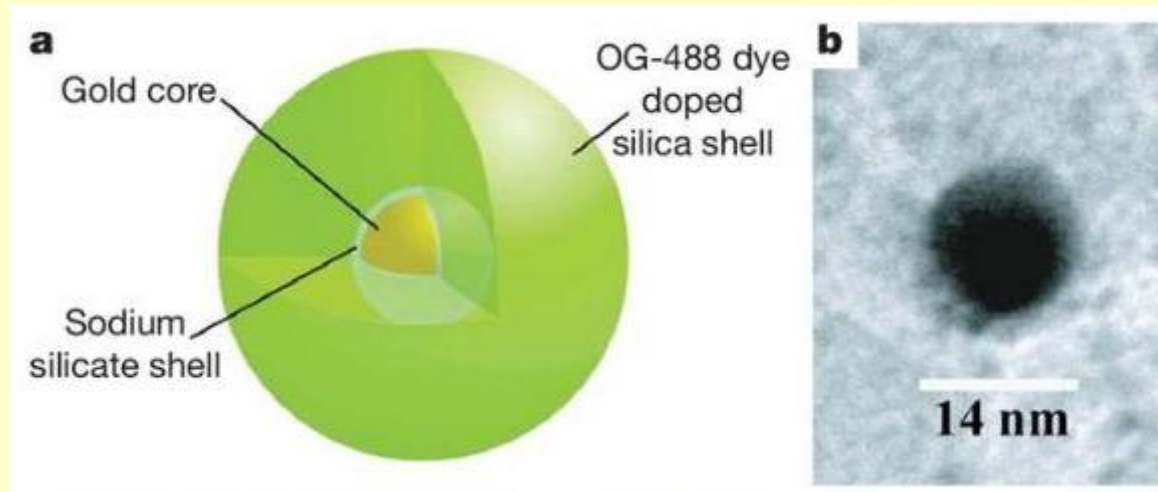
等离激元共振腔可以将模式场局域在亚波长尺寸空间内，能够有效地提升光学器件的集成度！



Nature news & views, 461, 604 (2009) – *Lasers go nano*

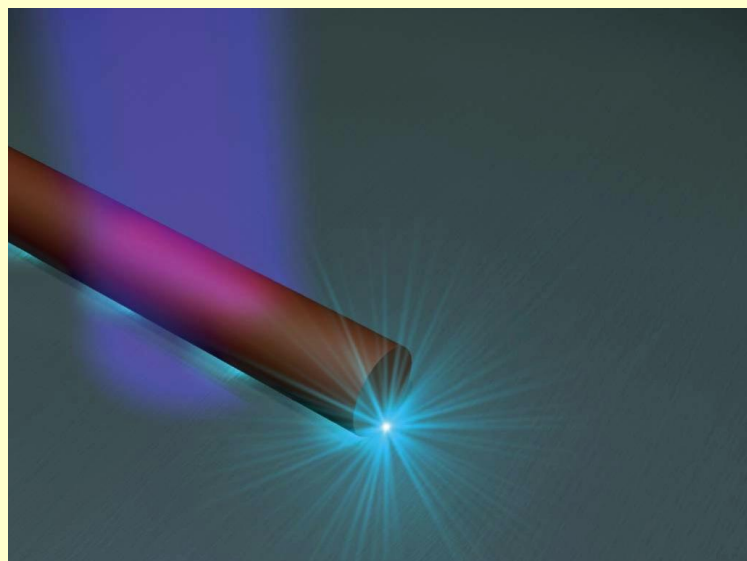
目前正在研究的等离激元纳米激光器

- 金纳米球外包裹光学增益材料的核-壳结构

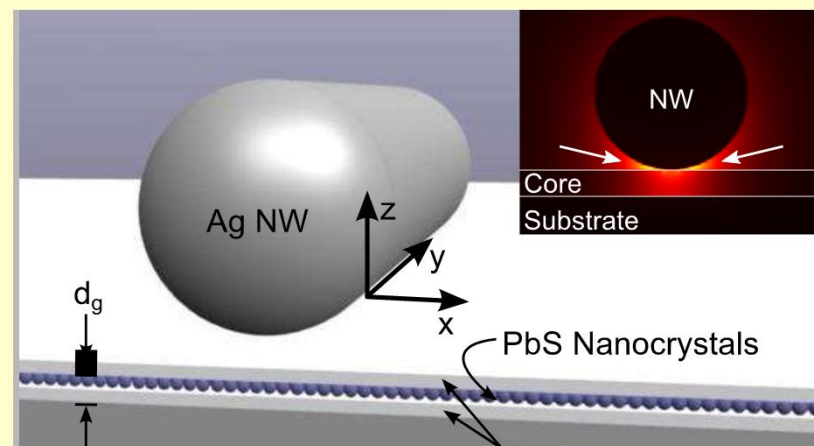


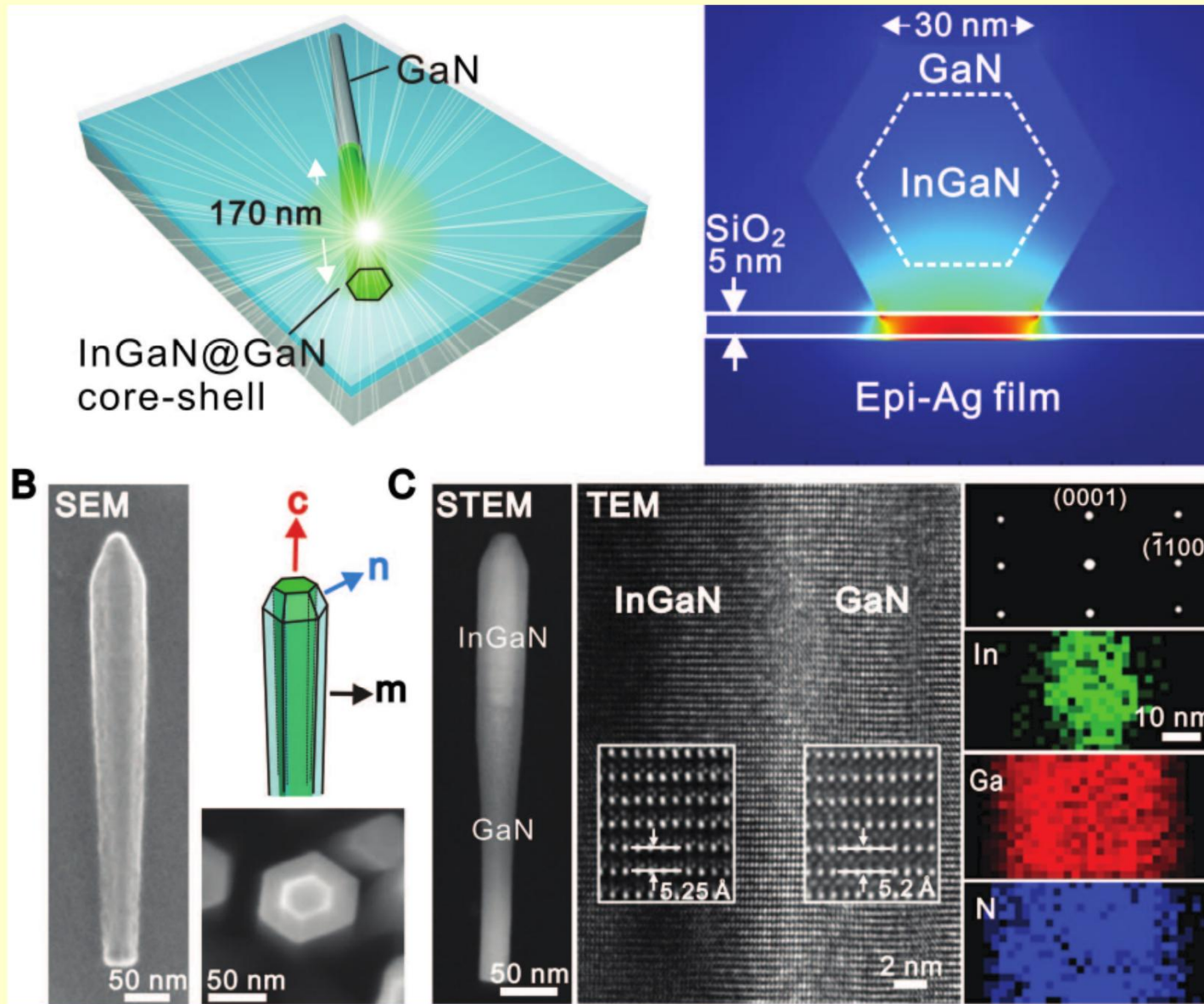
金属损耗过大，导致受激辐射阈值过高，难以在室温环境下工作

Nature 460, 1110 (2009); Nano Lett. 10, 3679 (2010).



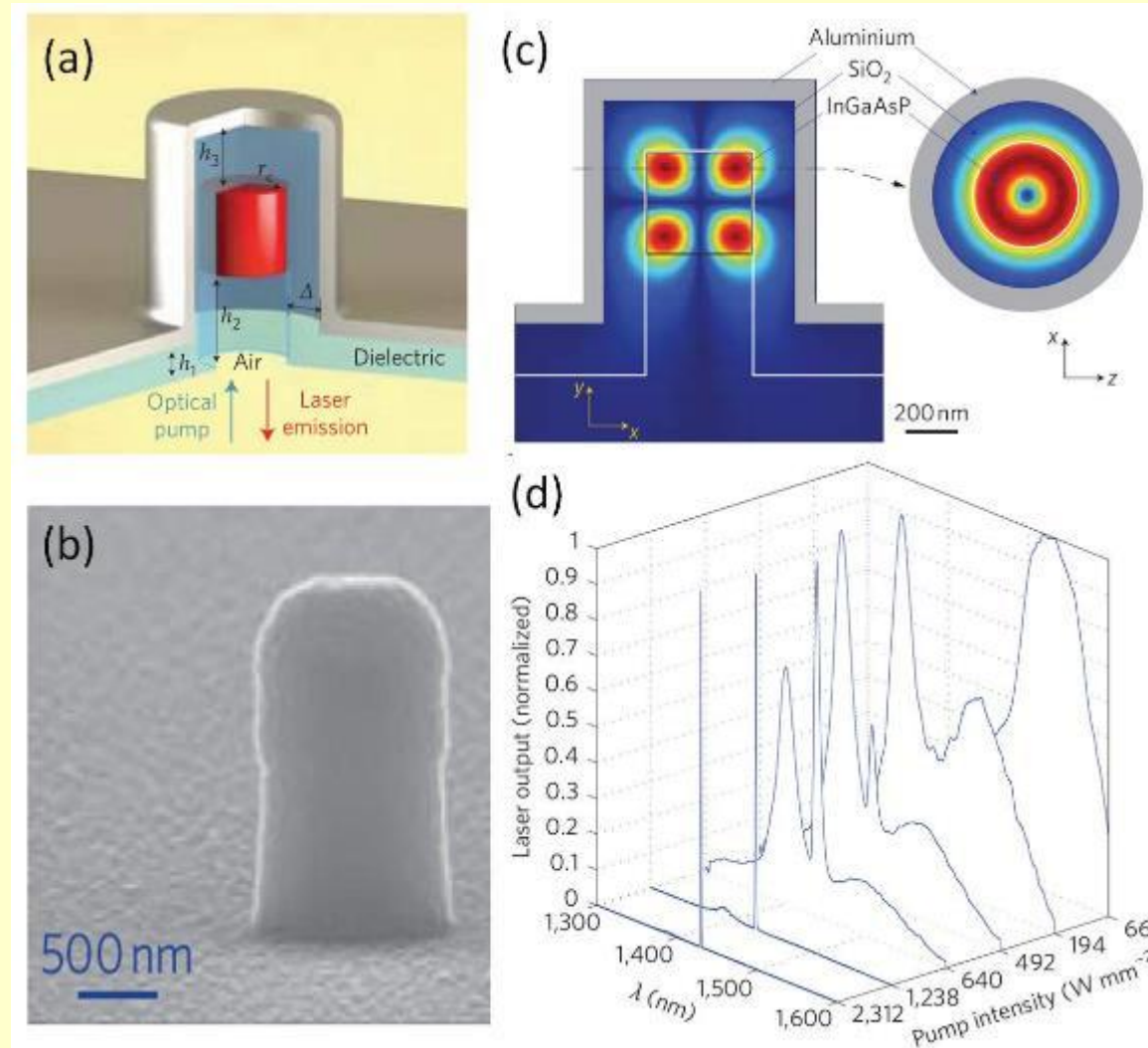
Nature 461, 629 (2009)





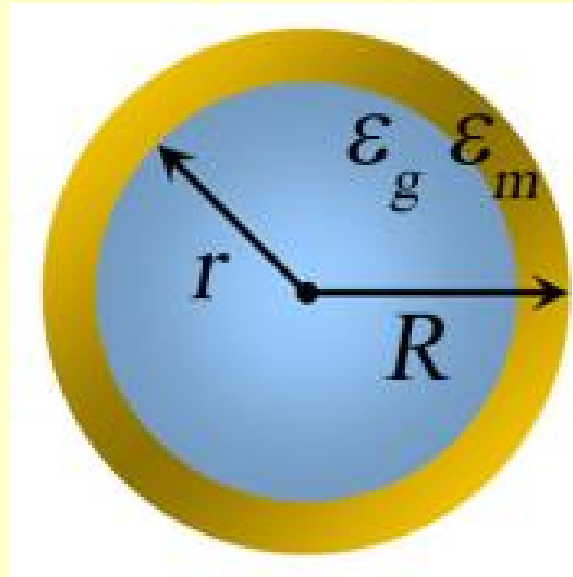
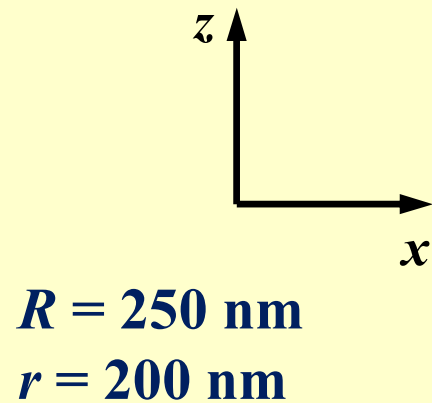
Lu et al., Science, 337, 450 (2012)

室温条件工作的纳米激光器



Nature Photonics, 4, 395 (2010)

我们的模型——银纳米球壳，作为SP的共振微腔

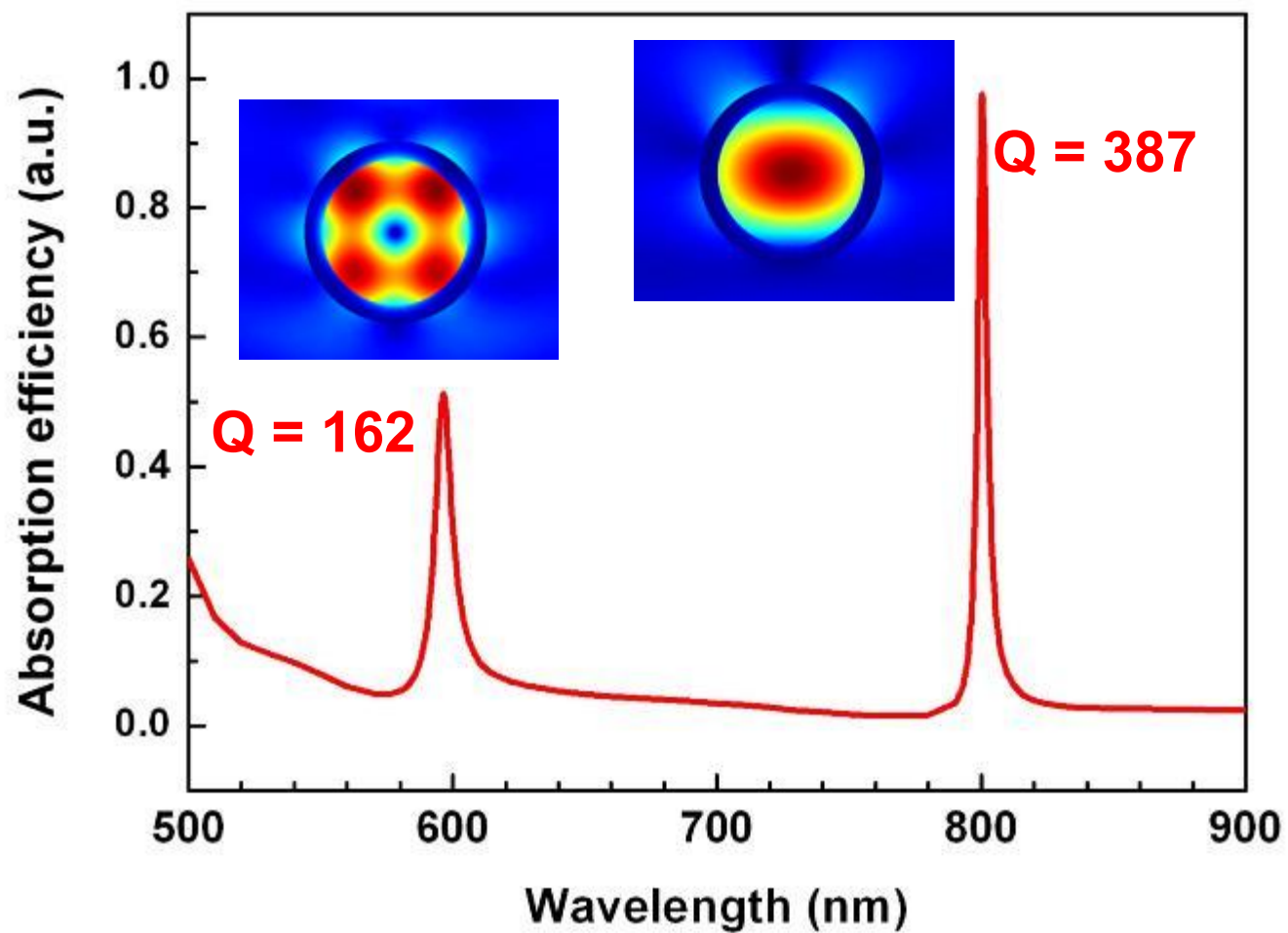


$$\epsilon_m = \epsilon'_m + i\epsilon''_m$$

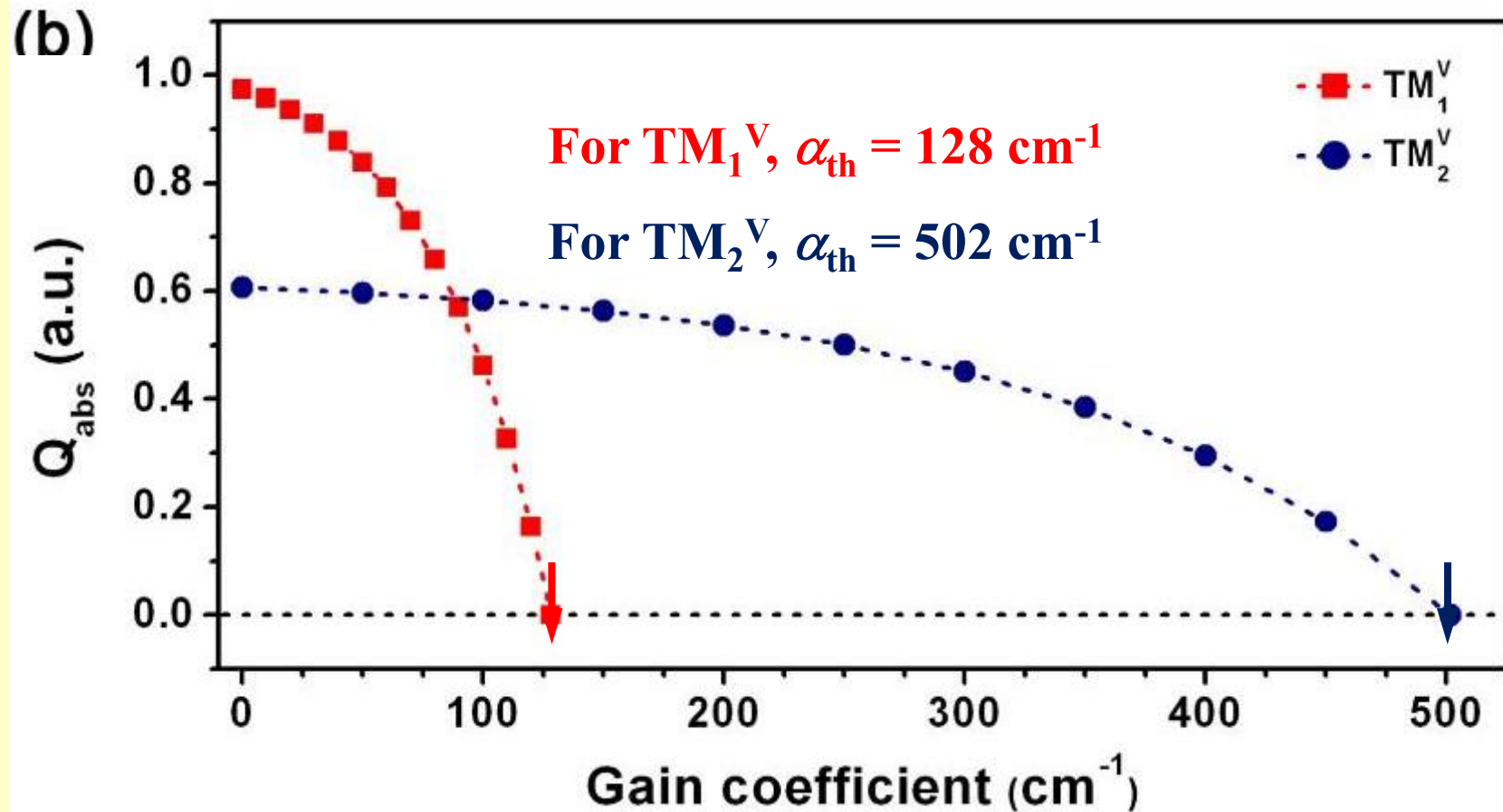
$$\epsilon_g = \epsilon'_g + i\epsilon''_g$$

Opt. Lett. 37, 1181 (2012)

银纳米球壳的吸收谱和腔模的场分布



受激辐射阈值的确定



以纳米银球外包装增益材料的结构为例，其阈值大约为 1500 cm^{-1}
所得的阈值结果明显小于其它类型等离子体纳米激光器的阈值！

| 结构 | 受激辐射模式 | 阈值 (cm^{-1}) | 波长 |
|---------------------|---------------------------------------|-------------------------|---------------|
| Asymmetric SRRs (N) | Trapped-mode | ~ 2000 | 1650 nm |
| MIM WG (E) | MIM plasmonic TM ₀ WG mode | ~ 5000 | 1480 nm |
| Fishnet (N) | Magnetic resonance | ~ 1500 | 1485 nm |
| Gold NP (E) | Electric dipole LSPR | ~ 1500 | 525 nm |
| Nanopan (E) | Whispering Gallery mode | 4200 | 1338 nm |
| Hybrid WG (E) | Hybrid WG mode | ~ 1000 | 490 nm |
| Nanoshell | Void mode | 128 | 800 nm |